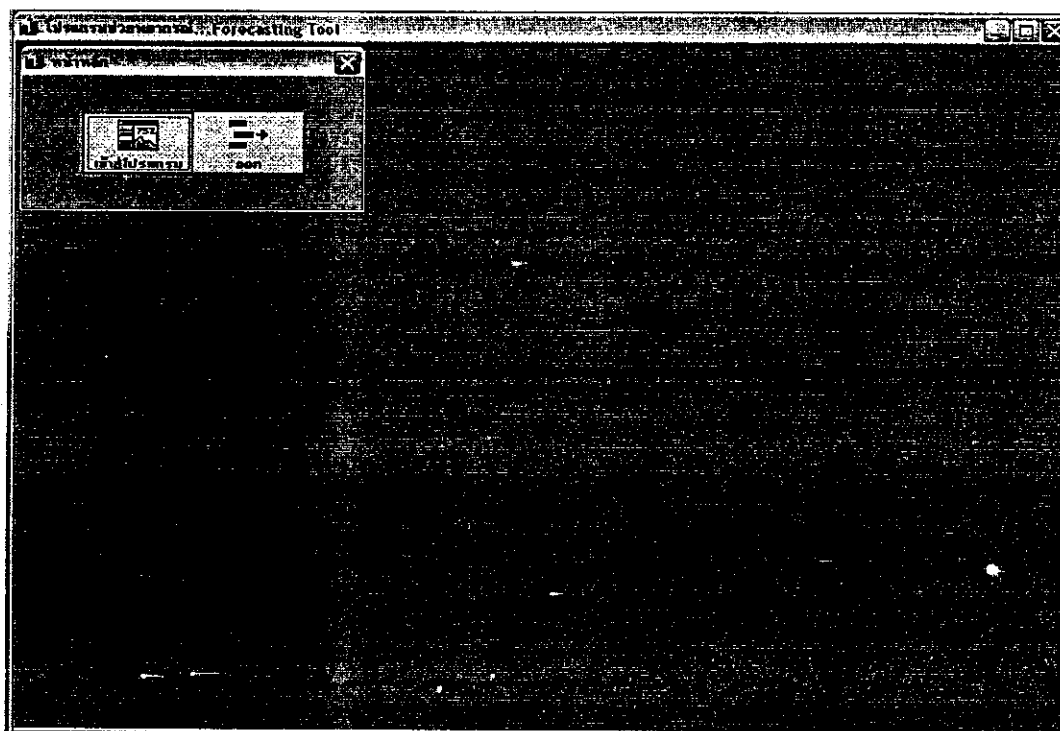


บทที่ 4

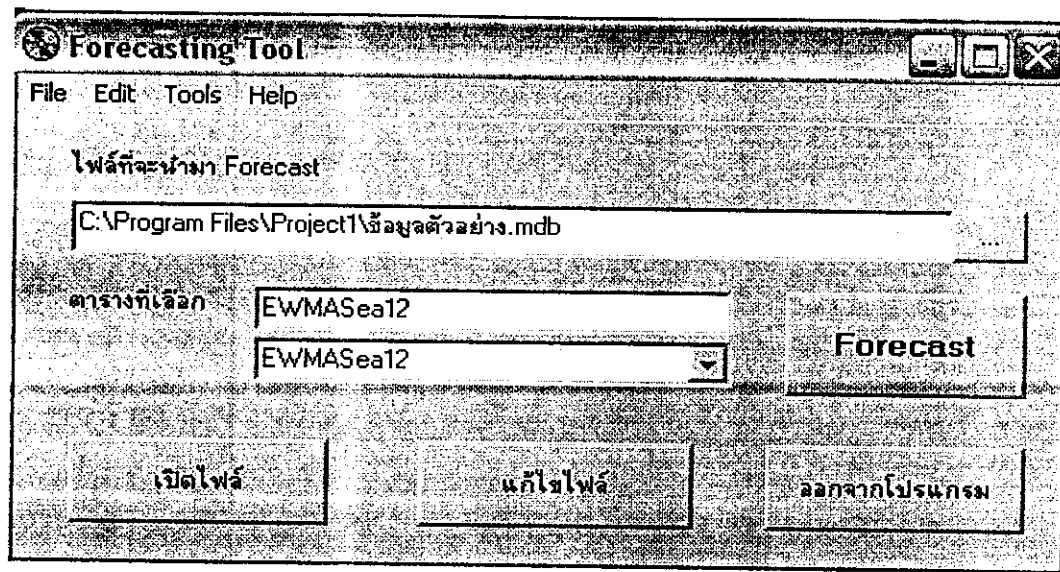
ผลการดำเนินการวิจัย

4.1 การเปรียบเทียบความแตกต่างของโปรแกรมเดิมและโปรแกรมที่ทำการปรับปรุง
ผลการดำเนินการวิจัยได้โปรแกรมชื่อ Forecasting tool ที่ทำการปรับปรุงแล้วและพร้อมใช้งาน 1 โปรแกรม โดยมีหน้าตาของโปรแกรมดังนี้คือ



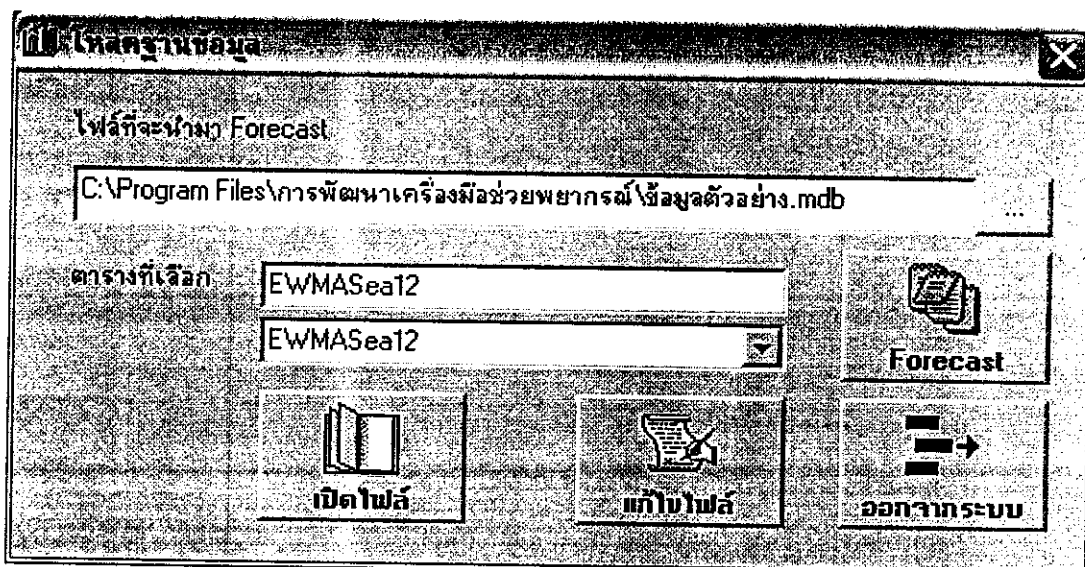
รูปที่ 4.1 หน้าจอหลักของโปรแกรมที่ปรับปรุง

เมื่อเปรียบเทียบกับโปรแกรมเดิมนั้นโปรแกรมเดิมจะไม่มีหน้าหลักเป็นแบบนี้ โดยที่หน้าจอแรกของตัวโปรแกรมเดิมนั้นมีหน้าจอเป็นดังนี้คือ



รูปที่ 4.2 หน้าจอแรกของโปรแกรมเดิม

ส่วนของโปรแกรมใหม่นั้นจะมีหน้าต่างต่อมาเป็นหน้าจอของการโหลดฐานข้อมูลดังรูป



รูปที่ 4.3 หน้าจอของการโหลดฐานข้อมูล

และส่วนของโปรแกรมที่แตกต่างกันอย่างเห็นได้ชัดก็คือส่วนของโปรแกรมเดิมไม่มีการเขียนโปรแกรมการเบรียบเทียบผลการพยากรณ์ โดยโปรแกรมที่ได้ปรับปูนั้นมีการเขียนโปรแกรมการเบรียบเทียบผลการพยากรณ์ซึ่งมาโดยมีหน้าต่างของหน้าจอดังรูป 4.4

| ผลการปีชั้นเก่อน | | | | | | | | |
|------------------|--------|---------|----------|----------|---------|---------|----------|----------|
| วิธีพัฒนาต่อ | | | | | | | | |
| Error | LPD | AA | MA | RA | EWMA | E+Tre | E+Sea | E+T+S |
| MAD | 9.6522 | 13.7811 | 13.9523E | 16.5662E | 10.2657 | 14.3521 | 12.60819 | 23.88091 |

รูปที่ 4.4 แสดงผลการเปรียบเทียบเทคโนโลยีคิดในการพยากรณ์ต่างๆ

ในการเขียนโปรแกรมเพิ่มนั้นถ้าต้องการทราบรายละเอียดของการเขียน Code คำสั่งนั้นสามารถดูได้ที่แผ่นซีดีที่แนบมาด้วยท้ายเล่ม โดยการเขียนโปรแกรมแบ่งการเขียนออกเป็น 2 ชนิดคือ

1.แบบไม่ดูด

2.แบบฟอร์ม

4.2 ข้อจำกัดของโปรแกรม

ไฟล์ที่เรียกนำมาคำนวนนั้นต้องเป็นไฟล์ Microsoft Access ไฟล์ Access ที่นำมาเป็นฐานข้อมูลต้องมี 2 Column โดยที่ Column แรกเป็นรอบ เช่น วันอาทิตย์ถึงวันศุกร์ เดือนต่าง ๆ หรือเป็นลับปีหนึ่นเป็นต้นและในการเลือกค่า Error เลือกได้เพียงตัวเดียวเท่านั้น

4.3 การทดลองใช้โปรแกรมจากตัวอย่างจริงและผลลัพธ์

4.3.1 ตัวอย่างการพยากรณ์ด้วยเทคนิคแบบ LPD, AA และ MA

ข้อมูลที่นำมาทดลองใช้ได้มาจากตัวอย่างเอกสารประกอบการเรียนการสอนในรายวิชาการวางแผนระหว่างการผลิตของ ผศ.ดร.ภูพงษ์ พงษ์เจริญ ในตัวอย่างนี้ได้ทำการพยากรณ์อยู่ 3 วิธี คือ แบบ LPD, AA และ MA และใช้ค่าความคลาดเคลื่อนแบบ MAD ใช้ช่วงเวลาทุกๆ 2 เดือน เดือนที่ 25 ขึ้นไปพยากรณ์แบบต่างๆได้ดังนี้

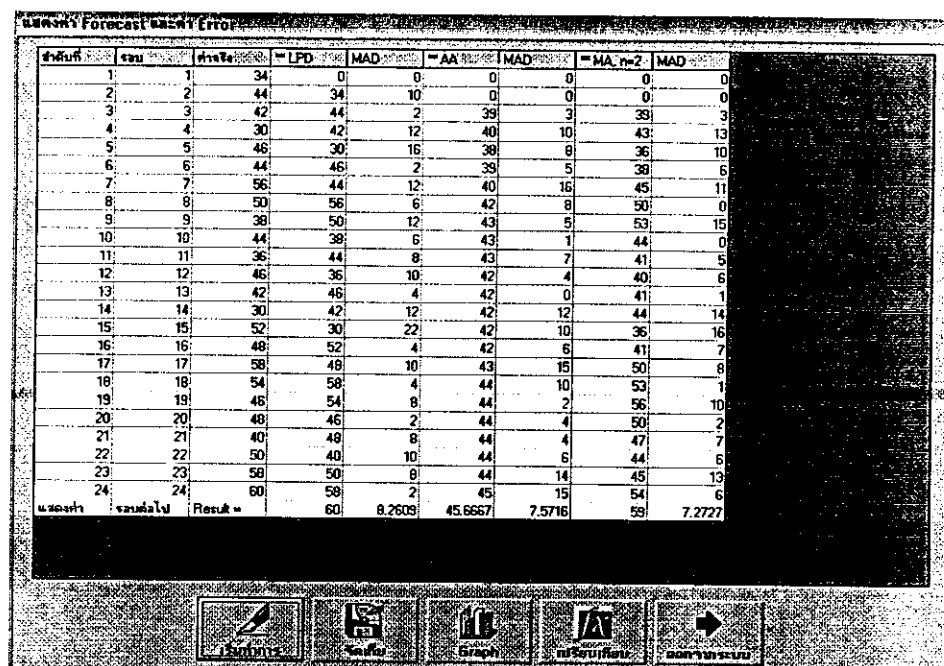
$$\text{LPD} = 60 \quad \text{MAD} = 8.26$$

$$\text{AA} = 46 \quad \text{MAD} = 7.55$$

$$\text{MA} = 59 \quad \text{MAD} = 7.27$$

ซึ่งในการพยากรณ์ในตัวอย่างนี้วิธีที่เหมาะสมที่สุดก็คือ MA

ส่วนของการพยากรณ์จากโปรแกรม Forecasting Tool ได้ดังนี้



รูปที่ 4.5 แสดงผลลัพธ์ที่ได้จากการพยากรณ์โดยใช้โปรแกรม Forecasting Tool
ด้วยเทคนิคแบบ LPD, AA และ MA

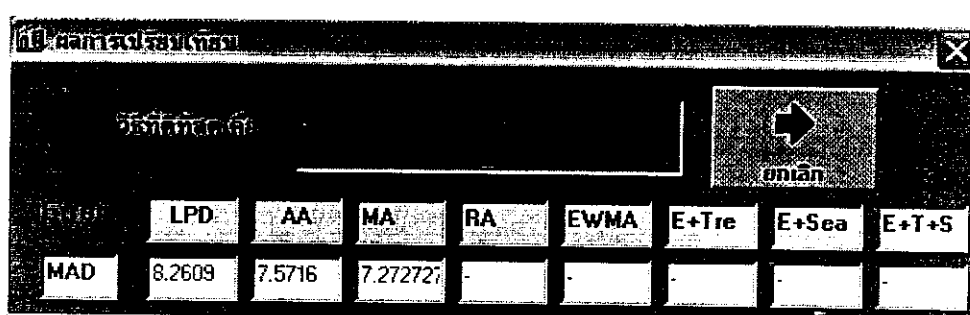
เดือนที่ 25 ขึ้นไปพยากรณ์แบบต่างๆได้ดังนี้

$$\text{LPD} = 60 \quad \text{MAD} = 8.2609$$

$$\text{AA} = 45.6667 \quad \text{MAD} = 7.5716$$

$$\text{MA} = 59 \quad \text{ใช้ } n=2 \quad \text{MAD} = 7.2727$$

การเปรียบเทียบในการเลือกเทคนิคการพยากรณ์ที่ดีและเหมาะสมที่สุดคือ



รูปที่ 4.6 ผลจากการเปรียบเทียบวิธีที่ดีที่สุดและเหมาะสมที่สุดในการพยากรณ์
ด้วยเทคนิคแบบ LPD, AA และ MA

ผลจากการเปรียบเทียบวิธีที่ดีที่สุดและเหมาะสมที่สุดในการพยากรณ์โดยใช้ค่าความคลาดเคลื่อนแบบ MAD คือ เทคนิคแบบ MA

4.3.2 ตัวอย่างการพยากรณ์ด้วยเทคนิคแบบ LPD, AA, MA และ EWMA

ข้อมูลที่นำมาทดลองใช้ได้มาจากการตัวอย่างการประกอบการเรียนการสอนในรายวิชาการวางแผนระหว่างการผลิตของ ผศ.ดร.ภูพงษ์ พงษ์เจริญ ในตัวอย่างนี้ได้ทำการพยากรณ์อยู่ 4 วิธี คือ แบบ LPD, AA, MA และ EWMA และใช้ค่าความคลาดเคลื่อนแบบ MAD

MA ใช้ $n = 2$

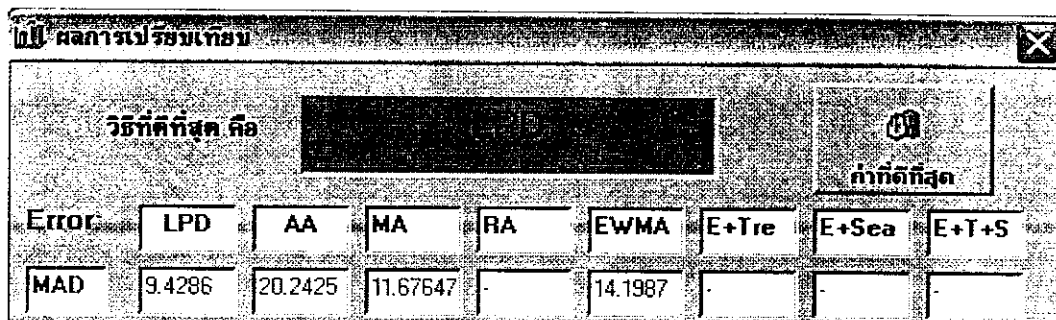
EWMA ใช้ $a = 0.3$

| ลำดับ | รวม | คำว่า | LPD | MAD | AA | MAD | MA, n=2 | MAD | EWMA | MAD | ▲ |
|-------|-----|-------|-----|-----|-----|-----|---------|-----|------|-----|---|
| 1: | 1 | 180 | 0 | 0 | 0 | 0 | 0 | 0 | 0 | 0 | |
| 2: | 2 | 186 | 180 | 6 | 0 | 0 | 0 | 0 | 180 | 6 | |
| 3: | 3 | 179 | 186 | 7 | 183 | 4 | 183 | 4 | 182 | 3 | |
| 4: | 4 | 170 | 179 | 9 | 182 | 12 | 182 | 12 | 181 | 11 | |
| 5: | 5 | 170 | 170 | 0 | 179 | 9 | 174 | 4 | 178 | 8 | |
| 6: | 6 | 165 | 170 | 5 | 177 | 12 | 170 | 5 | 175 | 10 | |
| 7: | 7 | 155 | 165 | 10 | 175 | 20 | 168 | 12 | 172 | 17 | |
| 8: | 8 | 150 | 155 | 5 | 172 | 22 | 160 | 10 | 167 | 17 | |
| 9: | 9 | 170 | 150 | 20 | 169 | 1 | 152 | 18 | 162 | 8 | |
| 10: | 10 | 192 | 170 | 22 | 169 | 23 | 160 | 32 | 164 | 28 | |
| 11: | 11 | 195 | 192 | 3 | 172 | 23 | 181 | 14 | 173 | 22 | |
| 12: | 12 | 205 | 195 | 10 | 174 | 31 | 194 | 12 | 179 | 26 | |
| 13: | 13 | 215 | 205 | 10 | 176 | 39 | 200 | 15 | 187 | 28 | |
| 14: | 14 | 208 | 215 | 7 | 179 | 29 | 210 | 2 | 195 | 13 | |
| 15: | 15 | 195 | 208 | 13 | 181 | 14 | 212 | 16 | 199 | 4 | |
| 16: | 16 | 200 | 195 | 5 | 182 | 18 | 202 | 2 | 198 | 2 | |
| 17: | 17 | 194 | 200 | 6 | 183 | 11 | 198 | 4 | 199 | 5 | |
| 18: | 18 | 185 | 194 | 9 | 184 | 1 | 197 | 12 | 197 | 12 | |
| 19: | 19 | 180 | 185 | 5 | 184 | 4 | 190 | 10 | 194 | 14 | |
| 20: | 20 | 180 | 180 | 0 | 184 | 4 | 182 | 2 | 189 | 9 | |
| 21: | 21 | 181 | 180 | 1 | 184 | 3 | 180 | 1 | 187 | 6 | |
| 22: | 22 | 205 | 181 | 24 | 184 | 21 | 180 | 24 | 185 | 20 | |
| 23: | 23 | 225 | 205 | 20 | 185 | 40 | 193 | 32 | 191 | 34 | |
| 24: | 24 | 235 | 225 | 10 | 186 | 49 | 215 | 20 | 201 | 34 | |
| 25: | 25 | 225 | 235 | 10 | 188 | 37 | 230 | 5 | 211 | 14 | |
| 26: | 26 | 225 | 225 | 0 | 190 | 35 | 230 | 5 | 215 | 10 | |
| 27: | 27 | 215 | 225 | 10 | 191 | 24 | 225 | 10 | 218 | 3 | |
| 28: | 28 | 225 | 215 | 10 | 192 | 33 | 220 | 5 | 217 | 8 | |
| 29: | 29 | 210 | 225 | 15 | 192 | 17 | 220 | 10 | 220 | 10 | |

รูปที่ 4.7 แสดงผลลัพธ์ที่ได้จากการพยากรณ์โดยใช้โปรแกรม Forecasting Tool

ด้วยเทคนิคแบบ LPD, AA, MA และ EWMA

การเปรียบเทียบในการเลือกเทคนิคการพยากรณ์ที่ดีและเหมาะสมที่สุดคือ



รูปที่ 4.8 ผลจากการเปรียบเทียบวิธีที่ดีที่สุดและเหมาะสมที่สุดในการพยากรณ์
ด้วยเทคนิคแบบ LPD, AA, MA และ EWMA

ผลจากการเปรียบเทียบวิธีที่ดีที่สุดและเหมาะสมที่สุดในการพยากรณ์โดยใช้ค่าความคลาดเคลื่อน
แบบ MAD คือ เทคนิคแบบ LPD

4.3.3 ตัวอย่างการพยากรณ์ด้วยเทคนิคแบบ EWMA และ EWMA+Seasonal

ในตัวอย่างนี้ได้ทำการพยากรณ์อยู่ 2 วิธีคือ แบบ EWMA และ EWMA+Seasonal และใช้ค่าความคลาดเคลื่อนแบบ MAPE

EWMA ใช้ $a = 0.3$

EWMA+Seasonal ใช้ $a = 0.3, c = 0.5, n = 4$

| ลำดับที่ | รอบ | ตัวอย่าง | EWMA | MAPE | EWMA+St | MAPE |
|----------|-----|----------|------|------|---------|------|
| 1 | 1 | 180 | 0 | 0 | 0 | 0 |
| 2 | 2 | 186 | 180 | 0 | 0 | 0 |
| 3 | 3 | 179 | 183 | 0 | 0 | 0 |
| 4 | 4 | 170 | 181 | 0 | 0 | 0 |
| 5 | 5 | 170 | 176 | 0 | 0 | 0 |
| 6 | 6 | 165 | 173 | 0 | 0 | 0 |
| 7 | 7 | 155 | 169 | 0 | 0 | 0 |
| 8 | 8 | 150 | 162 | 0 | 0 | 0 |
| 9 | 9 | 170 | 156 | 0 | 175 | 0 |
| 10 | 10 | 192 | 163 | 0 | 173 | 0 |
| 11 | 11 | 195 | 177 | 0 | 174 | 0 |
| 12 | 12 | 205 | 186 | 0 | 177 | 0 |
| 13 | 13 | 215 | 196 | 0 | 206 | 0 |
| 14 | 14 | 208 | 205 | 0 | 226 | 0 |
| 15 | 15 | 195 | 207 | 0 | 208 | 0 |
| 16 | 16 | 200 | 201 | 0 | 196 | 0 |
| 17 | 17 | 194 | 200 | 0 | 202 | 0 |
| 18 | 18 | 185 | 197 | 0 | 200 | 0 |
| 19 | 19 | 180 | 191 | 0 | 186 | 0 |
| 20 | 20 | 180 | 186 | 0 | 186 | 0 |
| 21 | 21 | 181 | 183 | 0 | 181 | 0 |
| 22 | 22 | 205 | 182 | 0 | 179 | 0 |
| 23 | 23 | 225 | 193 | 0 | 190 | 0 |
| 24 | 24 | 235 | 209 | 0 | 211 | 0 |
| 25 | 25 | 225 | 222 | 0 | 224 | 0 |
| 26 | 26 | 225 | 224 | 0 | 238 | 0 |
| 27 | 27 | 215 | 224 | 0 | 233 | 0 |
| 28 | 28 | 225 | 220 | 0 | 220 | 0 |
| 29 | 29 | 210 | 220 | 0 | 212 | 0 |

รูปที่ 4.9 แสดงผลลัพธ์ที่ได้จากการพยากรณ์โดยใช้โปรแกรม Forecasting Tool

ด้วยเทคนิคแบบ EWMA และ EWMA+Seasonal

การเปรียบเทียบในการเลือกเทคนิคการพยากรณ์ที่ดีและเหมาะสมที่สุดคือ

| Error: | LPD | AA | MA | RA | EWMA | E+Tre | E+Sea | E+T+S |
|--------|-----|----|----|----|--------|-------|----------|-------|
| MAPE | | | | | 6.1049 | | 6.826866 | |

รูปที่ 4.10 ผลจากการเปรียบเทียบวิธีที่ดีที่สุดและเหมาะสมที่สุดในการพยากรณ์
ด้วยเทคนิคแบบ EWMA และ EWMA+Seasonal

ผลจากการเปรียบเทียบวิธีที่ดีที่สุดและเหมาะสมที่สุดในการพยากรณ์โดยใช้ค่าความคลาดเคลื่อน
แบบ MAPE คือ เทคนิคแบบ EWMA

4.3.4 ตัวอย่างการพยากรณ์ด้วยเทคนิคแบบ EWMA, EWMA+Seasonal และ EWMA+Trend

ในตัวอย่างนี้ได้ทำการพยากรณ์อยู่ 3 วิธีคือ แบบ EWMA, EWMA+Seasonal และ
EWMA+Trend และใช้ค่าความคลาดเคลื่อนแบบ MPE

EWMA ใช้ $a = 0.3$

EWMA+Seasonal ใช้ $a = 0.3, c = 0.5, n = 3$

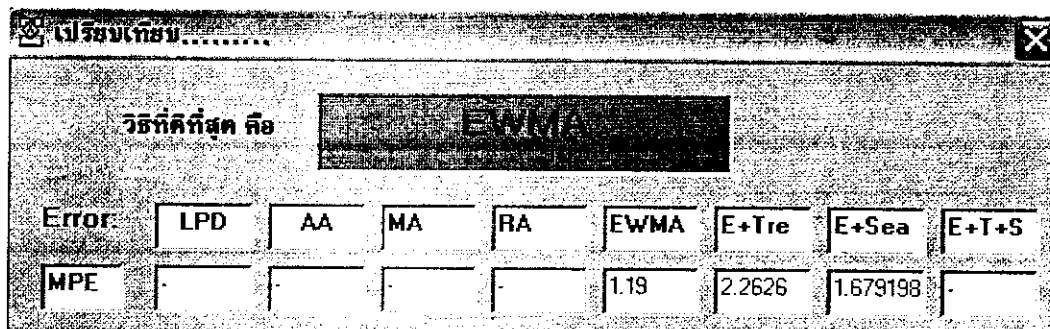
EWMA+Trend ใช้ $a = 0.3, b = 0.3$

| ผลลัพธ์ Forecast และ Error | | | | | | | | |
|----------------------------|-----|---------|--------|-----|----------|-----|-----------|-----|
| ลำดับที่ | รวม | ตัวจริง | " EWMA | MPE | " EWMA+T | MPE | " EWMA+Se | MPE |
| 1 | 1. | 180 | 0 | 0 | 0 | 0 | 0 | 0 |
| 2 | 2. | 186 | 180 | 0 | 225 | 0 | 0 | 0 |
| 3 | 3. | 179 | 183 | 0 | 241 | 0 | 0 | 0 |
| 4 | 4. | 170 | 181 | 0 | 230 | 0 | 0 | 0 |
| 5 | 5. | 170 | 176 | 0 | 205 | 0 | 0 | 0 |
| 6 | 6. | 165 | 173 | 0 | 184 | 0 | 0 | 0 |
| 7 | 7. | 155 | 159 | 0 | 166 | 0 | 175 | 0 |
| 8 | 8. | 150 | 162 | 0 | 149 | 0 | 168 | 0 |
| 9 | 9. | 170 | 156 | 0 | 139 | 0 | 154 | 0 |
| 10 | 10. | 192 | 163 | 0 | 151 | 0 | 155 | 0 |
| 11 | 11. | 195 | 177 | 0 | 179 | 0 | 177 | 0 |
| 12 | 12. | 205 | 186 | 0 | 198 | 0 | 200 | 0 |
| 13 | 13. | 215 | 196 | 0 | 214 | 0 | 206 | 0 |
| 14 | 14. | 208 | 205 | 0 | 228 | 0 | 202 | 0 |
| 15 | 15. | 195 | 207 | 0 | 226 | 0 | 212 | 0 |
| 16 | 16. | 200 | 201 | 0 | 211 | 0 | 209 | 0 |
| 17 | 17. | 194 | 200 | 0 | 203 | 0 | 195 | 0 |
| 18 | 18. | 185 | 197 | 0 | 194 | 0 | 190 | 0 |
| 19 | 19. | 180 | 191 | 0 | 183 | 0 | 197 | 0 |
| 20 | 20. | 180 | 186 | 0 | 174 | 0 | 183 | 0 |
| 21 | 21. | 181 | 183 | 0 | 171 | 0 | 176 | 0 |
| 22 | 22. | 205 | 182 | 0 | 173 | 0 | 182 | 0 |
| 23 | 23. | 225 | 193 | 0 | 193 | 0 | 195 | 0 |
| 24 | 24. | 235 | 209 | 0 | 222 | 0 | 208 | 0 |
| 25 | 25. | 225 | 222 | 0 | 244 | 0 | 236 | 0 |
| 26 | 26. | 225 | 224 | 0 | 246 | 0 | 235 | 0 |
| 27 | 27. | 215 | 224 | 0 | 241 | 0 | 225 | 0 |
| 28 | 28. | 225 | 220 | 0 | 227 | 0 | 215 | 0 |
| 29 | 29. | 210 | 222 | 0 | 225 | 0 | 225 | 0 |

เริ่มต้น |
 จัดเก็บ |
 Graph |
 กรณีแบบเส้น |
 ออกจากระบบ

รูปที่ 4.11 แสดงผลลัพธ์ที่ได้จากการพยากรณ์โดยใช้โปรแกรม Forecasting Tool
ด้วยเทคนิคแบบ EWMA, EWMA+Seasonal และ EWMA+Trend

การเปรียบเทียบในการเลือกเทคนิคการพยากรณ์ที่ดีและเหมาะสมที่สุดคือ



รูปที่ 4.12 ผลจากการเปรียบเทียบวิธีที่ดีที่สุดและเหมาะสมที่สุดในการพยากรณ์
ด้วยเทคนิคแบบ EWMA, EWMA+Seasonal และ EWMA+Trend

ผลจากการเปรียบเทียบวิธีที่ดีที่สุดและเหมาะสมที่สุดในการพยากรณ์โดยใช้ค่าความคลาดเคลื่อนแบบ MPE คือ เทคนิคแบบ EWMA

4.3.5 ตัวอย่างการพยากรณ์ด้วยเทคนิคแบบ EWMA, EWMA+Seasonal, EWMA+Trend และ EWMA+Seasonal +Trend

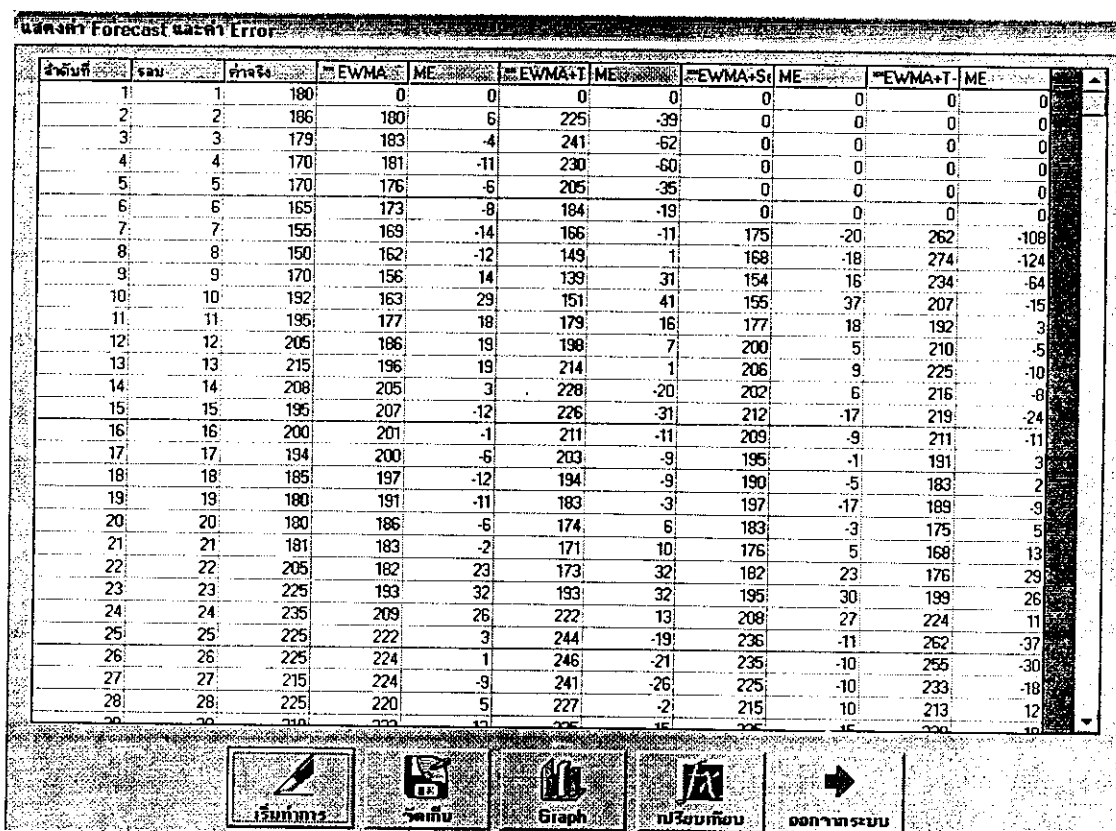
ในตัวอย่างนี้ได้ทำการพยากรณ์อยู่ 4 วิธีคือ แบบ EWMA, EWMA+Seasonal, EWMA+Trend และ EWMA+Seasonal +Trend และใช้ค่าความคลาดเคลื่อนแบบ ME

EWMA ให้ $a = 0.3$

EWMA+Seasonal ให้ $a = 0.3, c = 0.5, n = 3$

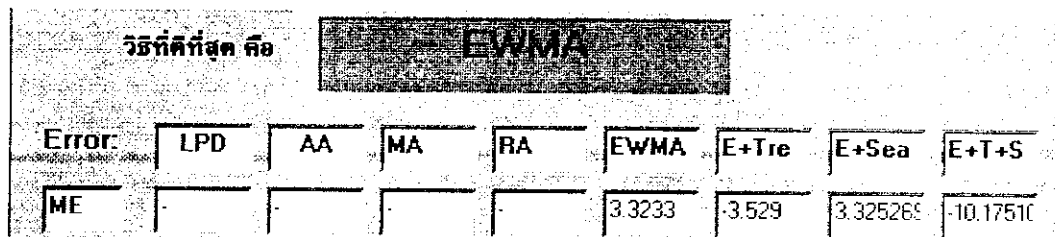
EWMA+Trend ให้ $a = 0.3, b = 0.3$

EWMA+Seasonal +Trend ให้ $a = 0.3, b = 0.3, c = 0.5, n = 3$



รูปที่ 4.13 แสดงผลลัพธ์ที่ได้จากการพยากรณ์โดยใช้โปรแกรม Forecasting Tool ด้วยเทคนิคแบบ EWMA, EWMA+Seasonal, EWMA+Trend และ EWMA+Seasonal +Trend

การเปรียบเทียบในการเลือกเทคนิคการพยากรณ์ที่ดีและเหมาะสมที่สุดคือ

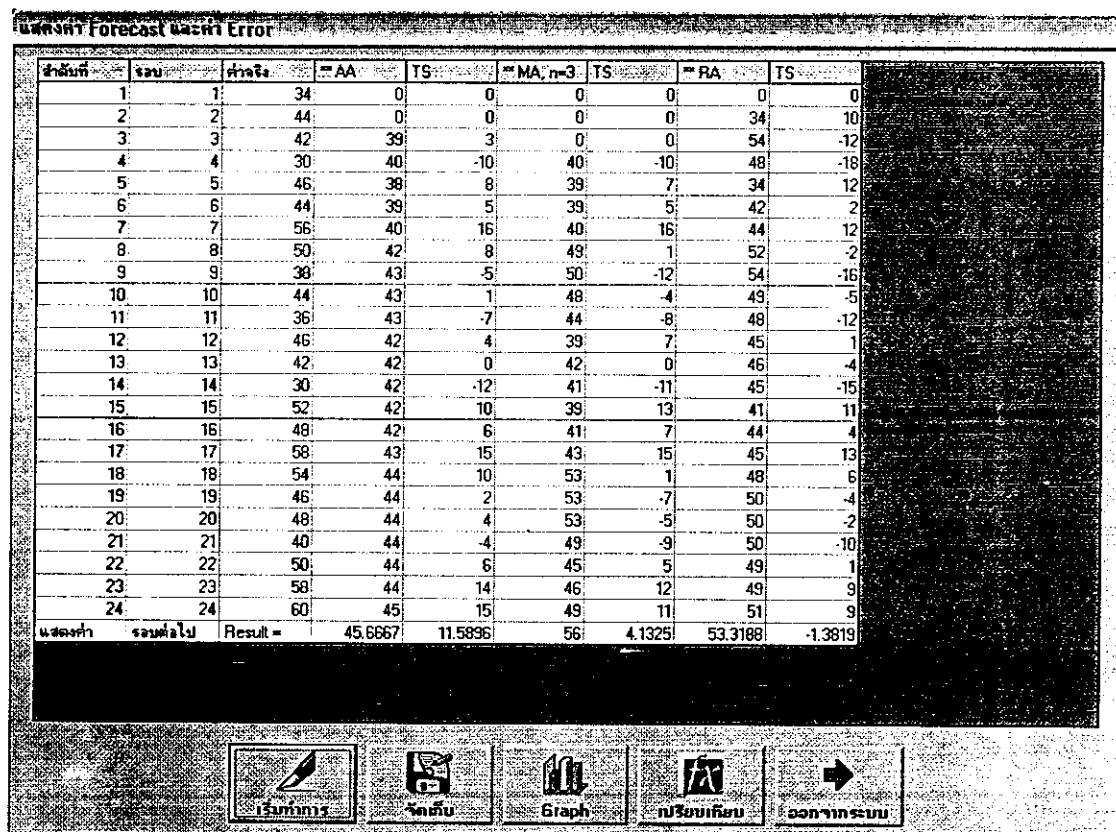


รูปที่ 4.14 ผลจากการเปรียบเทียบวิธีที่ดีที่สุดและเหมาะสมที่สุดในการพยากรณ์
ด้วยเทคนิคแบบ EWMA, EWMA+Seasonal, EWMA+Trend และ
EWMA+Seasonal+Trend

ผลจากการเปรียบเทียบวิธีที่ดีที่สุดและเหมาะสมที่สุดในการพยากรณ์โดยใช้ค่าความคลาดเคลื่อน
แบบ ME คือ เทคนิคแบบ EWMA

4.3.6 ตัวอย่างการพยากรณ์ด้วยเทคนิคแบบ AA MA RA

ในตัวอย่างนี้ได้ทำการพยากรณ์อยู่ 3 วิธีคือ แบบ AA, MA และ RA และใช้ค่าความคลาดเคลื่อนแบบ Sr
MA ใช้ $n=3$



รูปที่ 4.15 แสดงผลลัพธ์ที่ได้จากการพยากรณ์โดยใช้โปรแกรม Forecasting Tool ด้วยเทคนิคแบบ AA, MA และ RA

การเปรียบเทียบในการเลือกเทคนิคการพยากรณ์ที่ดีและเหมาะสมที่สุดคือ

| วิธีที่ดีที่สุด คือ | | ผลของการพยากรณ์ | | | | | | | |
|---------------------|--|-----------------|----------|-----------|----|------|-------|-------|-------|
| Error | | LPD | AA | MA | RA | EWMA | E+Tre | E+Sea | E+T+S |
| TS | | 11.5836 | 4.132530 | -1.381925 | | | | | |

รูปที่ 4.16 ผลจากการเปรียบเทียบวิธีที่ดีที่สุดและเหมาะสมที่สุดในการพยากรณ์

ด้วยเทคนิคแบบ AA, MA และ RA

ผลจากการเปรียบเทียบวิธีที่ดีที่สุดและเหมาะสมที่สุดในการพยากรณ์โดยใช้ค่าความคลาดเคลื่อนแบบ Sr คือ เทคนิคแบบ RA

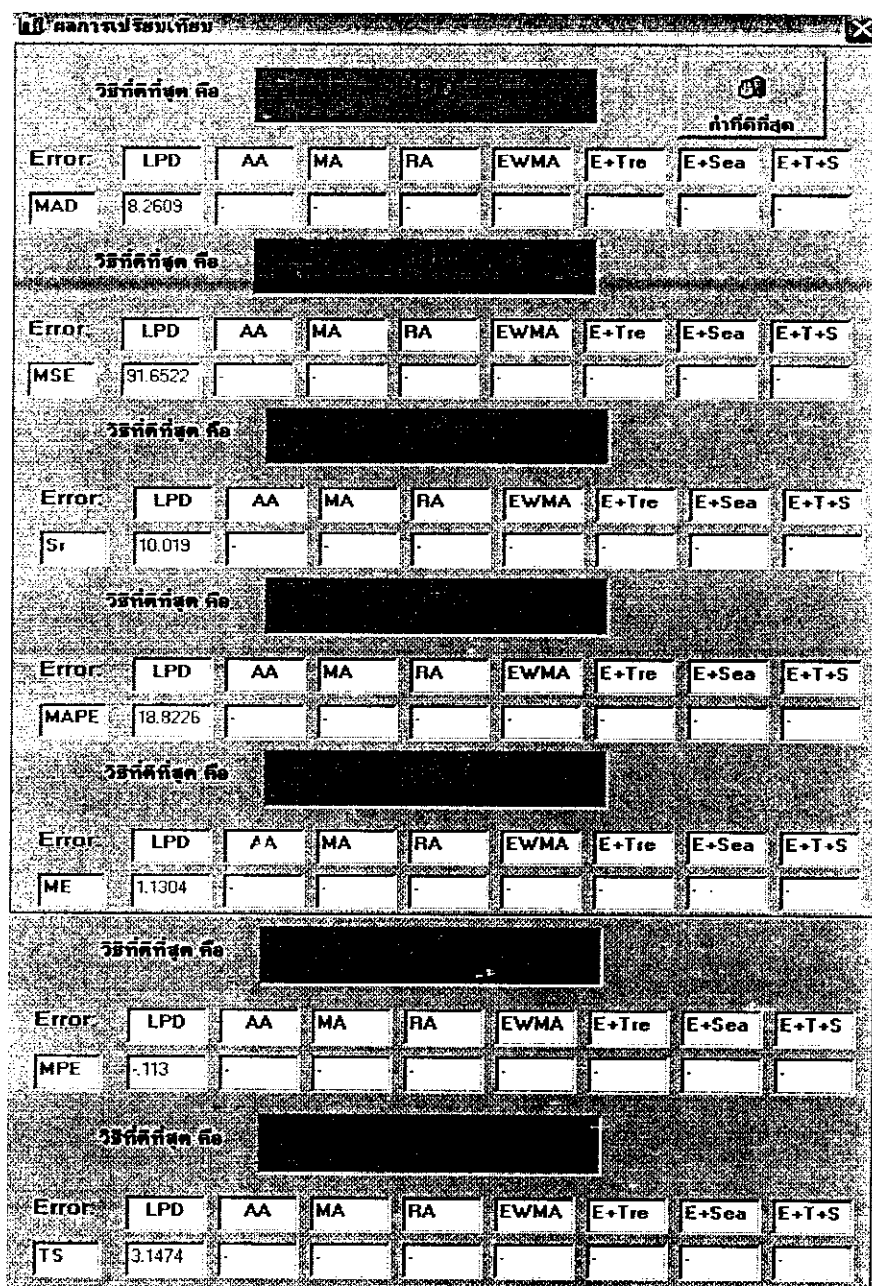
4.3.7 การแสดงการทำงานของค่าความคลาดเคลื่อน

ในตัวอย่างนี้ได้ทำการพยากรณ์อยู่ 1 วิธีคือ แบบ LPD และใช้ค่าความคลาดเคลื่อนทั้งหมด 7 ค่าความคลาดเคลื่อน

| ผลของการพยากรณ์และการคำนวณ Error | | | | | | | | | | |
|----------------------------------|-----|--------|--------|-----|--------|---------|--------|---------|--------|------|
| ลำดับ | รอบ | สำหรับ | LPD | MAD | MSE | Sr | MAPE | ME | MPE | TS |
| 1 | 1 | 34 | 0 | 0 | 0 | 0 | 0 | 0 | 0 | 0 |
| 2 | 2 | 44 | 34 | 10 | 100 | 100 | .2273 | 10 | .2273 | 10 |
| 3 | 3 | 42 | 44 | 2 | 4 | 4 | .0476 | -2 | -.0476 | -2 |
| 4 | 4 | 30 | 42 | 12 | 144 | 144 | .4 | -12 | -.4 | -12 |
| 5 | 5 | 46 | 30 | 16 | 256 | 256 | .3476 | 16 | .3476 | 16 |
| 6 | 6 | 44 | 46 | 2 | 4 | 4 | .0455 | -2 | -.0455 | -2 |
| 7 | 7 | 56 | 44 | 12 | 144 | 144 | .2143 | 12 | .2143 | 12 |
| 8 | 8 | 50 | 56 | 6 | 36 | 36 | .12 | -6 | -.12 | -6 |
| 9 | 9 | 38 | 50 | 12 | 144 | 144 | .3158 | -12 | -.3158 | -12 |
| 10 | 10 | 44 | 38 | 6 | 36 | 36 | .1364 | 6 | .1364 | 6 |
| 11 | 11 | 36 | 44 | 8 | 64 | 64 | .2222 | -8 | -.2222 | -8 |
| 12 | 12 | 46 | 36 | 10 | 100 | 100 | .2174 | 10 | .2174 | 10 |
| 13 | 13 | 42 | 46 | 4 | 16 | 16 | .0952 | -4 | -.0952 | -4 |
| 14 | 14 | 30 | 42 | 12 | 144 | 144 | .4 | -12 | -.4 | -12 |
| 15 | 15 | 52 | 30 | 22 | 484 | 484 | .4231 | 22 | .4231 | 22 |
| 16 | 16 | 48 | 52 | 4 | 16 | 16 | .0833 | -4 | -.0833 | -4 |
| 17 | 17 | 58 | 48 | 10 | 100 | 100 | .1724 | 10 | .1724 | 10 |
| 18 | 18 | 54 | 58 | 4 | 16 | 16 | .0741 | -4 | -.0741 | -4 |
| 19 | 19 | 46 | 54 | 6 | 64 | 64 | .1739 | -6 | -.1739 | -6 |
| 20 | 20 | 48 | 46 | 2 | 4 | 4 | .0417 | 2 | .0417 | 2 |
| 21 | 21 | 40 | 48 | 8 | 64 | 64 | .2 | -8 | -.2 | -8 |
| 22 | 22 | 50 | 40 | 10 | 100 | 100 | .2 | 10 | -.2 | 10 |
| 23 | 23 | 59 | 50 | 8 | 64 | 64 | .1379 | 8 | .1379 | 8 |
| 24 | 24 | 60 | 59 | 2 | 4 | 4 | .0333 | 2 | .0333 | 2 |
| ผลรวม | | | Result | 60 | 9.2609 | 91.6522 | 10.019 | 18.8226 | 1.1304 | -113 |
| ผลรวมทั้งหมด | | | | | | | | | | |

รูปที่ 4.17 การแสดงการทำงานของค่าความคลาดเคลื่อนทั้ง 7 วิธีด้วยเทคนิคการพยากรณ์แบบ LPD

การเปรียบเทียบในการเลือกค่าความคลาดเคลื่อนที่ดีและเหมาะสมที่สุดคือ



รูปที่ 4.18 ผลจากการเปรียบเทียบค่าความคลาดเคลื่อนที่ดีที่สุดและเหมาะสมที่สุดในการพยากรณ์ด้วยเทคนิคแบบ LPD

ผลจากการเปรียบเทียบค่าความคลาดเคลื่อนที่ดีที่สุดและเหมาะสมที่สุดในการพยากรณ์โดยใช้เทคนิคการพยากรณ์แบบ LPD คือค่าความคลาดเคลื่อนแบบ MPE